



Научная сессия Объединенного ученого совета
по физическим наукам СО РАН
21 декабря 2022 года

**Экспериментальное изучение процесса e^+e^- аннигиляции
в пару **нейтрон-антинейтрон** на коллайдере ВЭПП-2000**

Авторы : коллаборация СНД
ИЯФ СО РАН

BINP



N*Novosibirsk
State
University
***THE REAL SCIENCE**

Состав материи во Вселенной

Протоны и нейтроны, >99%

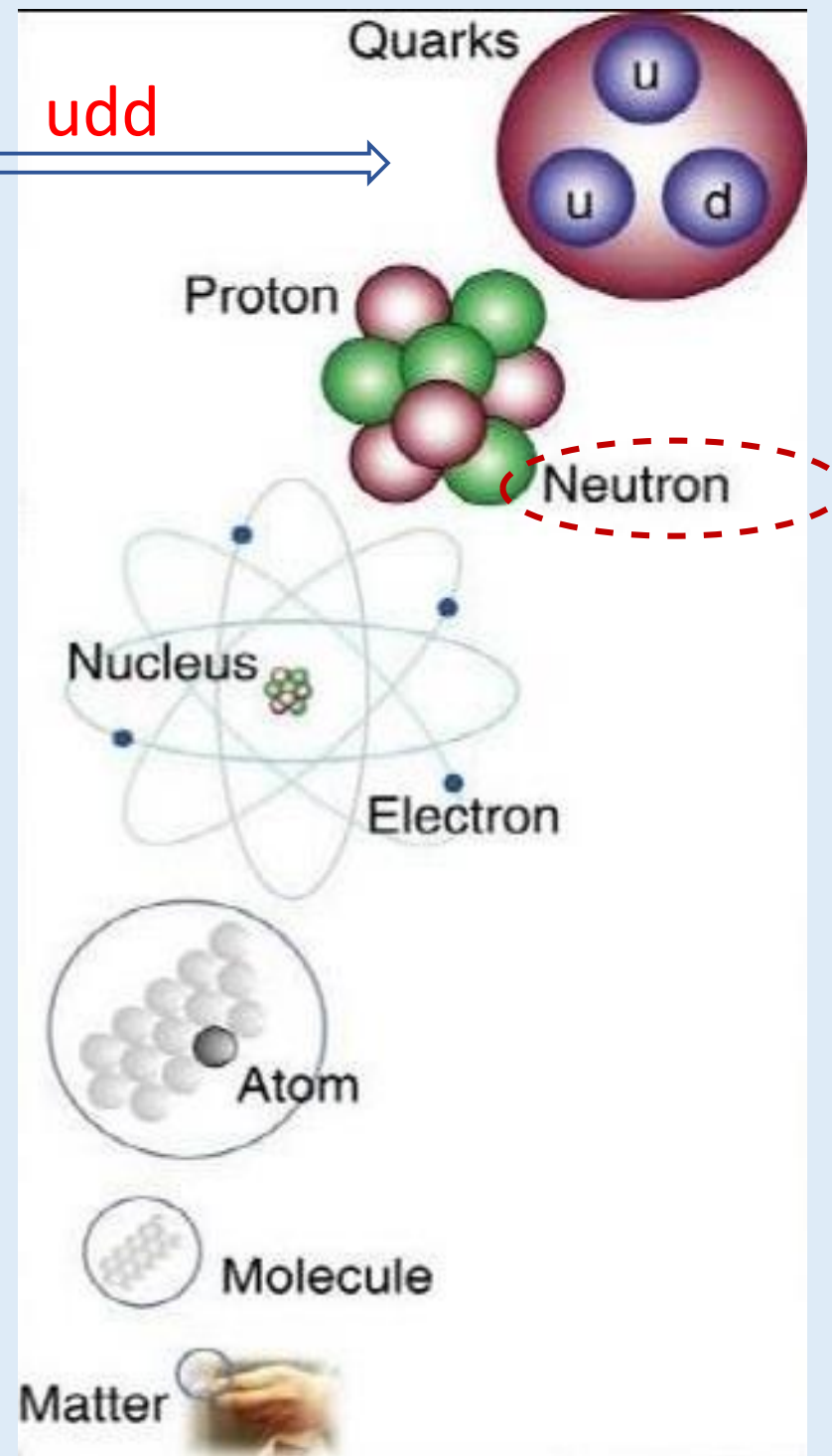


Структура нуклонов –
нейтрона и протона,

$$M_n = 940 \text{ MeV}/c^2$$

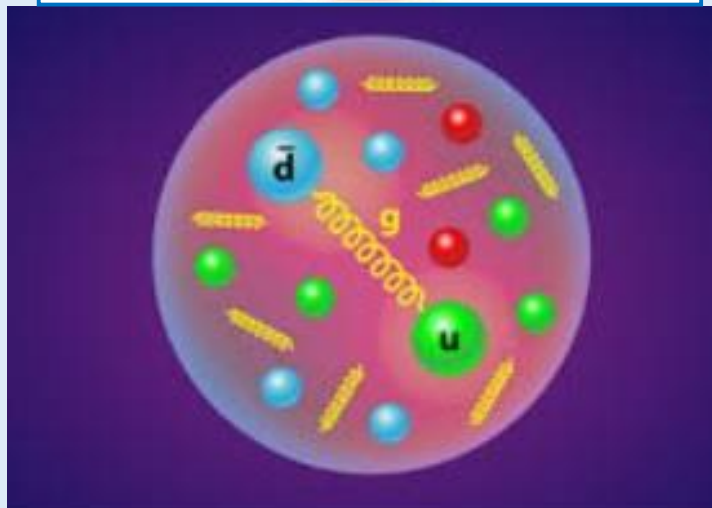
$$R_n = 10^{-13} \text{ cm}$$

$$\tau_n = 880 \text{ sec}$$



Структура нейтрона и протона

$$n = udd + \text{gluons} + \text{quarks} + \dots$$



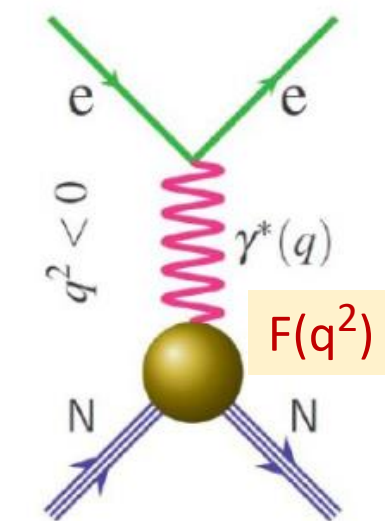
Глюоны в протоне - -
- рисунок художника



Две возможности изучать электромагнитную структуру нуклона

$e^- N \rightarrow e^- N$

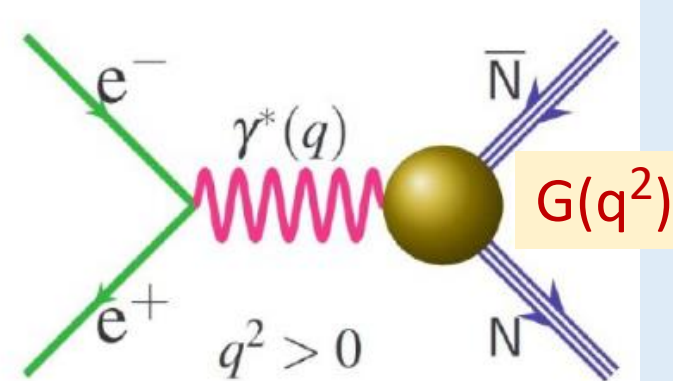
Рассеяние



Spacelike form
factor: $F(q^2)$

$e^+e^- \rightarrow N \bar{N}$

аннигиляция



Timelike form
factor $G(q^2)$

Лаб.2 –Д.Н.,И.Р.,Г.Ш.,Д.Т.,.(ВЭПП-3)

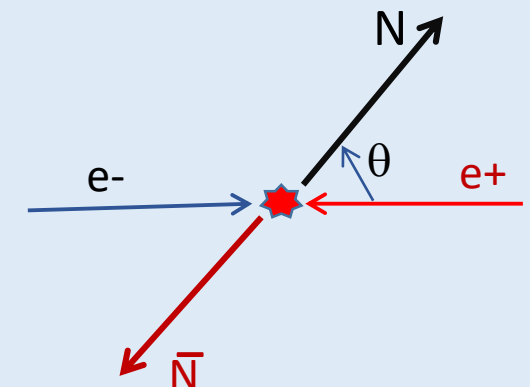
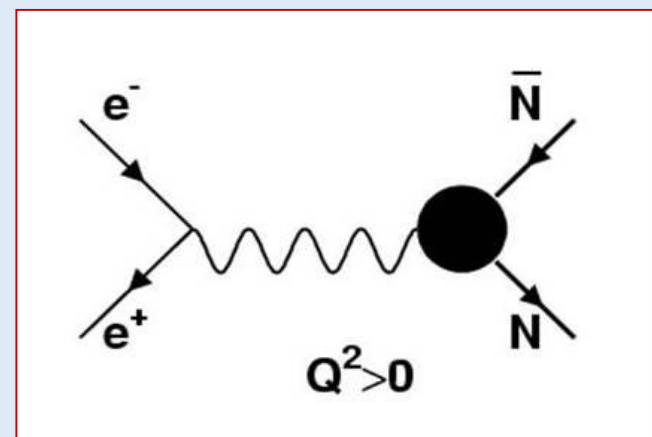
вэпп-2000

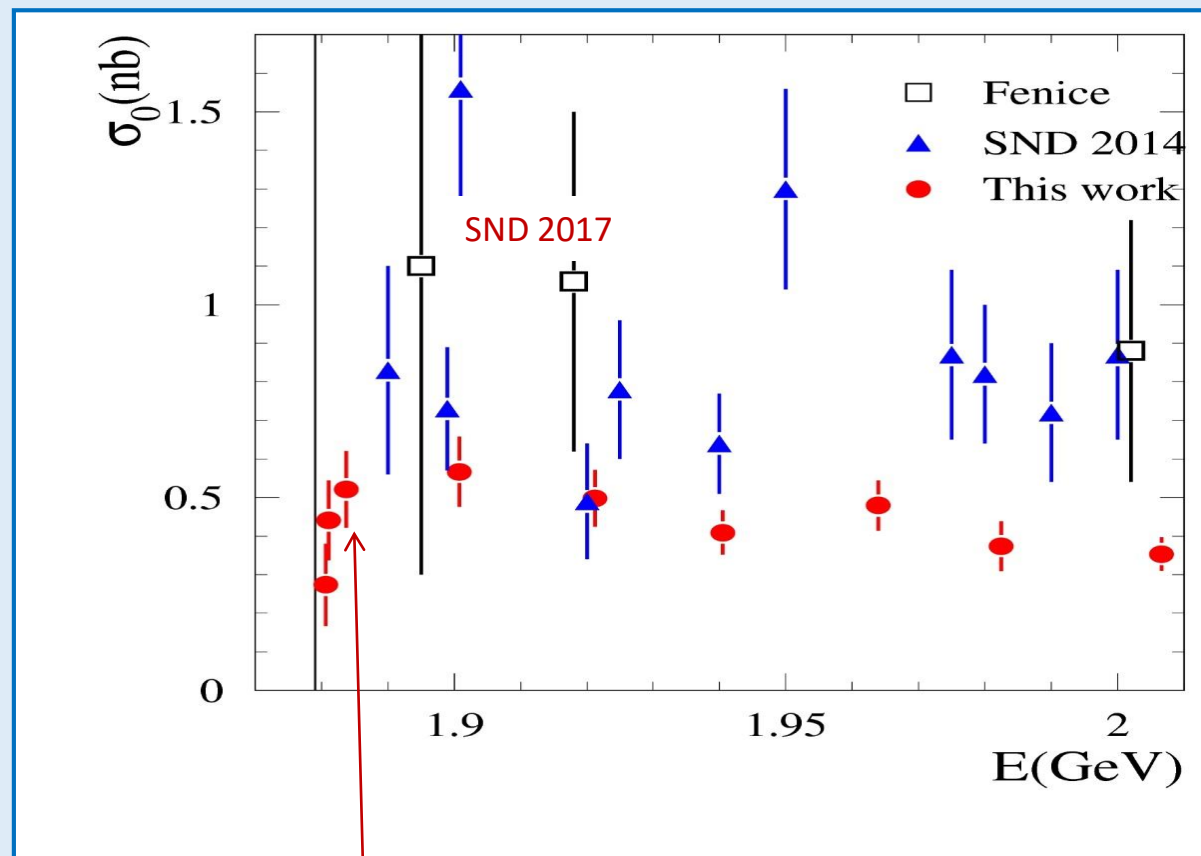
$e^+e^- \rightarrow n \text{ anti-}n$ cross section

$$\sigma(e^+e^- \rightarrow B\bar{B}) = \frac{\alpha^2 \beta C^2}{4m^2} \left(|G_M|^2 (1 + \cos^2 \theta) + \frac{4m_B^2}{m^2} |G_E|^2 (1 - \cos^2 \theta) \right)$$

B – baryon = p, n ; $m = 2E_b$ – cms energy; β – nucleon velocity
 θ – polar angle; m_b – nucleon mass; G_E, G_M - two form factors

Feynman diagram of $e^+e^- \rightarrow n \bar{n}$ process



Существующие данные по сечению $e^+e^- \rightarrow n + \text{anti-}n$ 

SND preliminary
PhiPsiConf2019; EPJ Web Conf 212 07007 (2019)

Коллайдер ВЭПП-2000

**VEPP-2000 e^+ - e^- collider
(2 x 1000 MeV)**

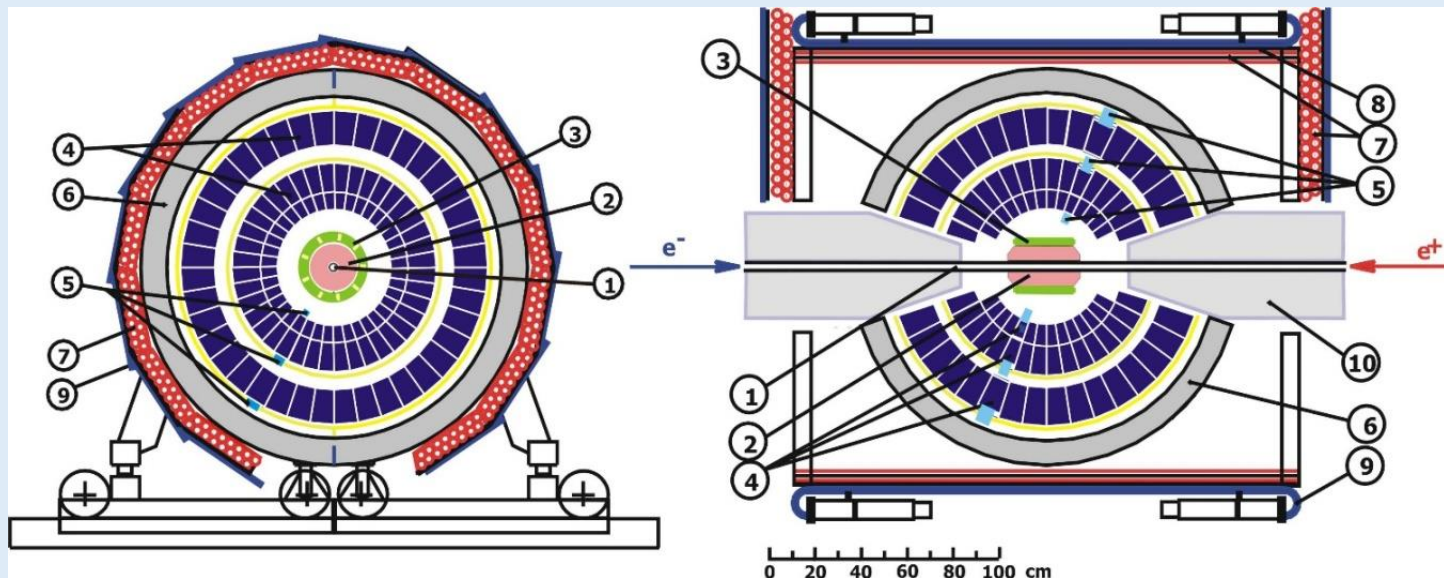
The diagram illustrates the VEPP-2000 e⁺-e⁻ collider. It features a circular particle accelerator ring. Key components include:

- RF-cavity**: Located at the bottom left of the ring.
- injection**: The entry point for particles into the ring.
- CMD-3**: Cryogenic Magnetic Detector, located at the top left.
- SND**: NaJ cristal neutrino particles Detector, located at the bottom right.

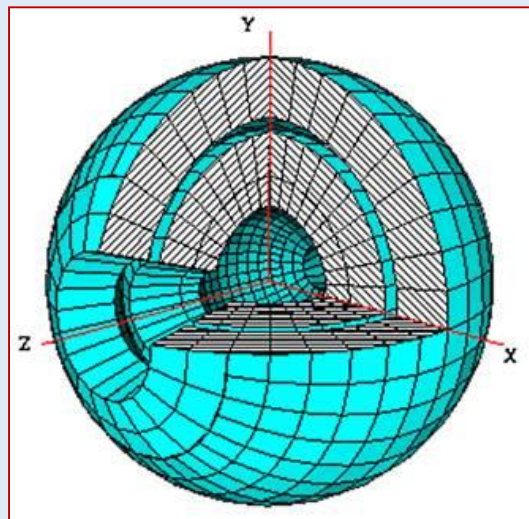
VEPP-2000 parameters:

- c.m. energy $E=0.3\text{-}2.0 \text{ GeV}$
- round beam optics
- Luminosity at $E=1.8 \text{ GeV}$
 $1.10^{32} \text{ cm}^{-2} \text{ sec}^{-1}$ (project),
 $7.10^{31} \text{ cm}^{-2} \text{ sec}^{-1}$ (achieved)

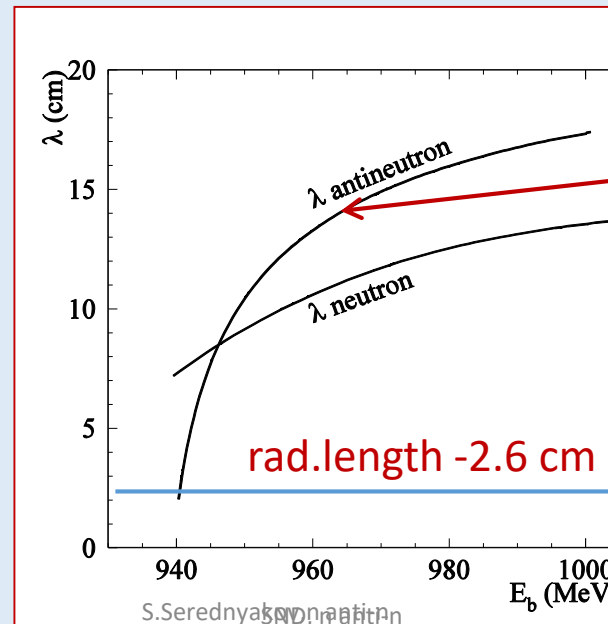
SND detector (since 1995)



- 1 – vacuum chamber,
- 2 – tracking DC,
- 3 – aerogel $n=1.13, 1.05$
- 4 – NaI(Tl) crystals,
- 5 – phototriodes,
- 6 – absorber,
- 7–9 – muon detector,
- 10 – SC solenoids



Solid angle - 95% 4π



Attenuation length
SND – good antineutron detector

Набор экспериментальных данных – 2017, 2019 гг.

$E_{\text{beam}} = 940 - 1004 \text{ MeV}$, ($m_n = 939.6 \text{ MeV}$)

21 energy points,

Luminosity : $\Delta L = 38 \text{ pb}^{-1}$,

Number of $n\bar{n}$ events = 2730 (recorded)

Number of $n\bar{n}$ events $\sim 15\,000$ (produced)

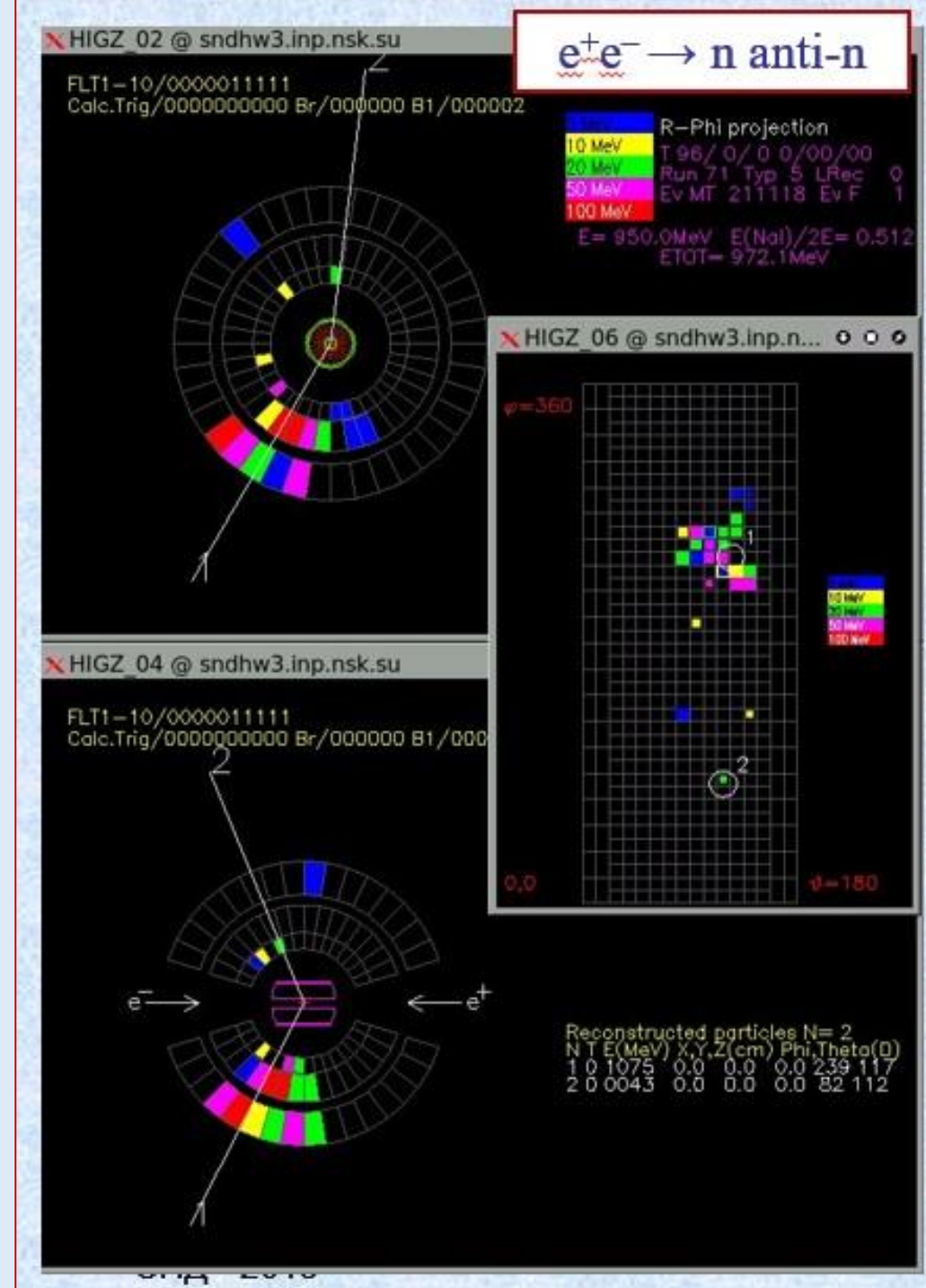
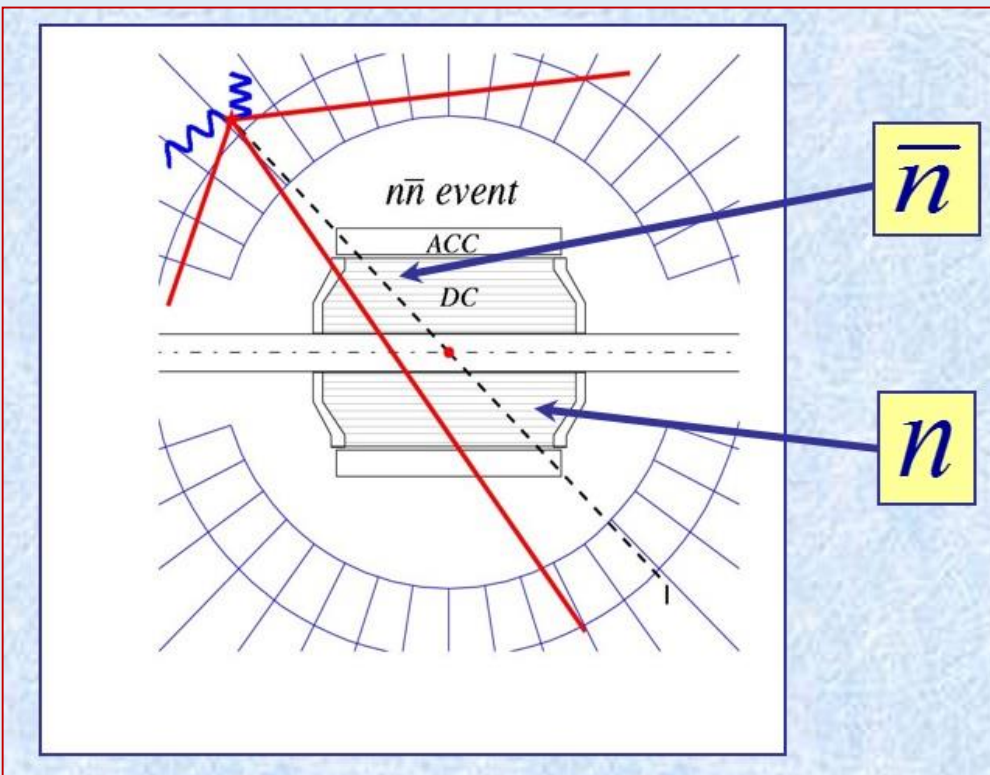
Эффективность регистрации $\sim 18\%$

–

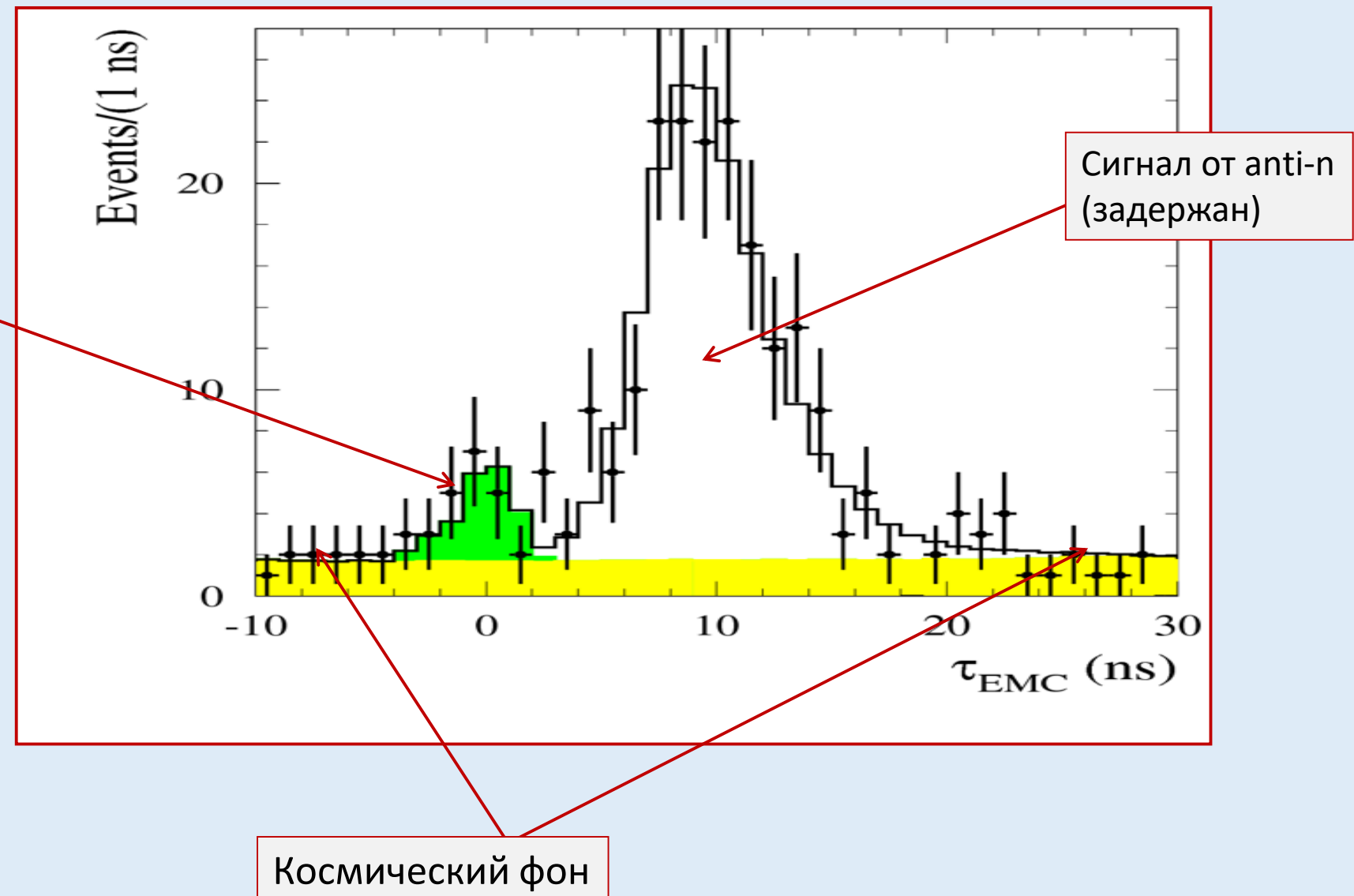
Полное число записанных событий $> 10^9$

событий $n \text{ anti-}n \sim 1/1\,000\,000$

Снимки типичных $n\bar{n}$ - событий



Распределение по времени отобранных событий



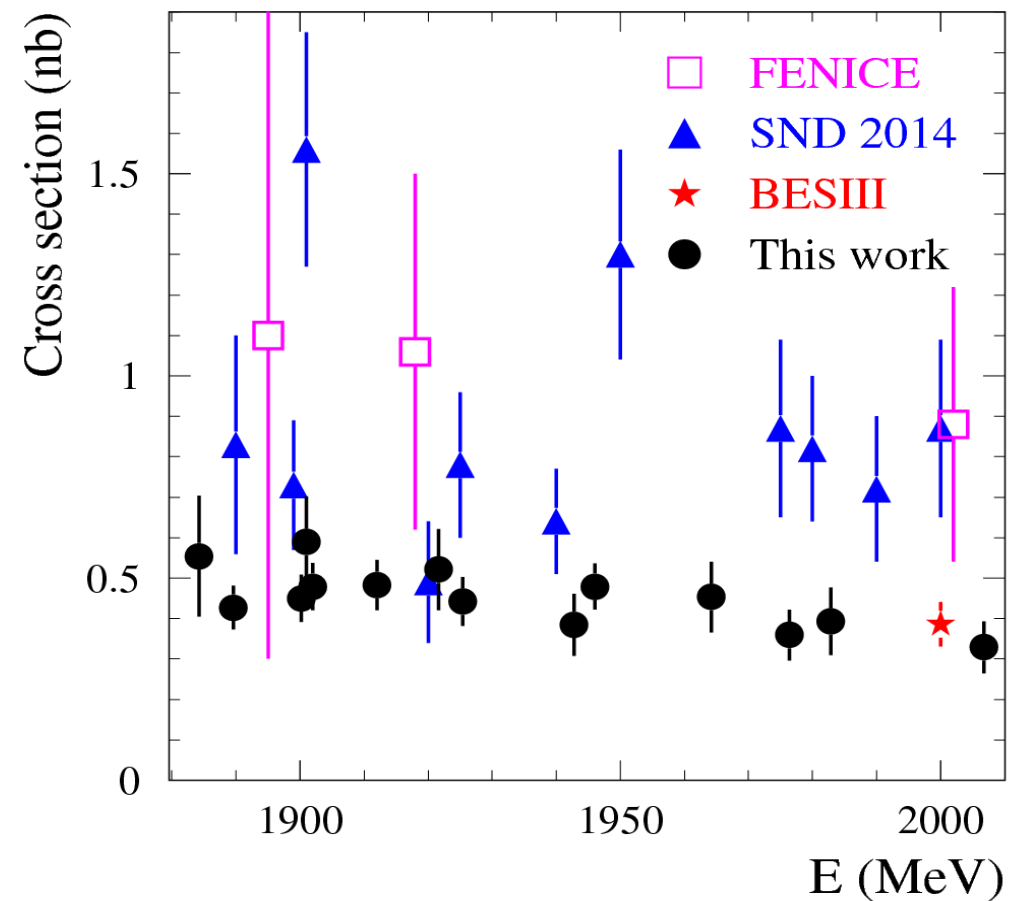
Вычисление сечения $e^+e^- \rightarrow n \text{ anti-}n$

$$\sigma_B = N_{nn} / \varepsilon (1+\delta) L$$

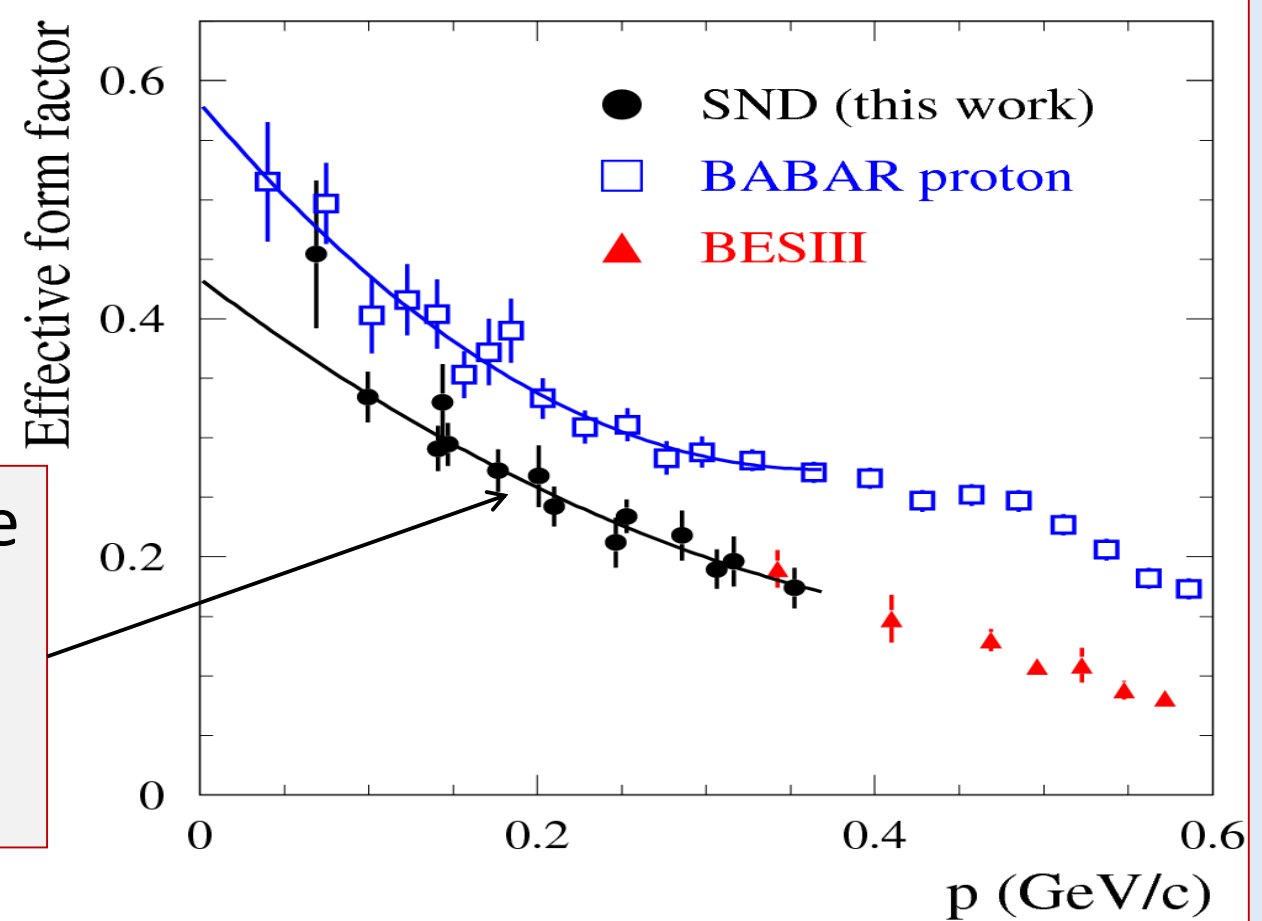
Example :

N_{nn} – detected events number, ~100,
 L - integrated luminosity, ~ 1 pb⁻¹,
 ε - MC detection efficiency, ~ 0.2,
 $1+\delta$ - radiative correction, ~ 0.8,
 σ_B - total cross section ~ 0.4-0.8 nb,
 σ_{vis} - visible cross section.

Измеренное сечение процесса $e^+e^- \rightarrow n \text{ anti-}n$



Измеренный в работе
эффективный
формфактор
нейтрона

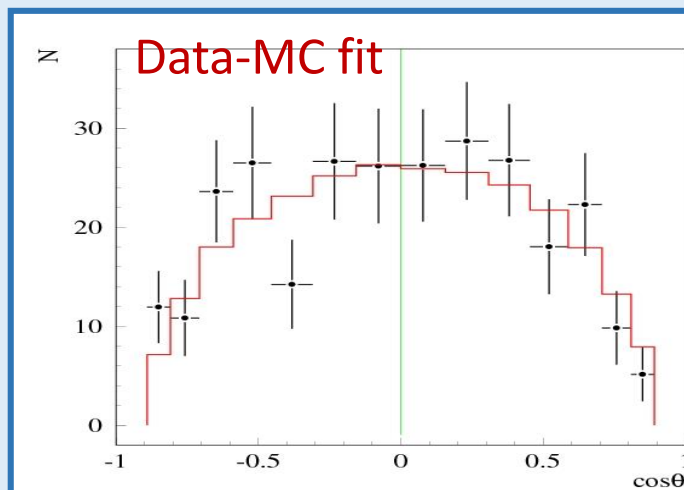
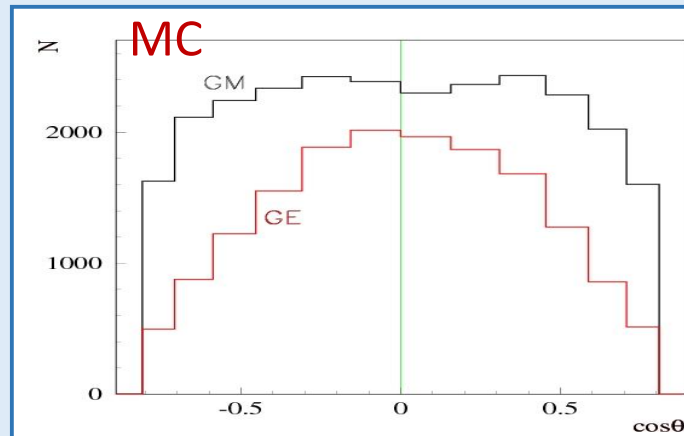
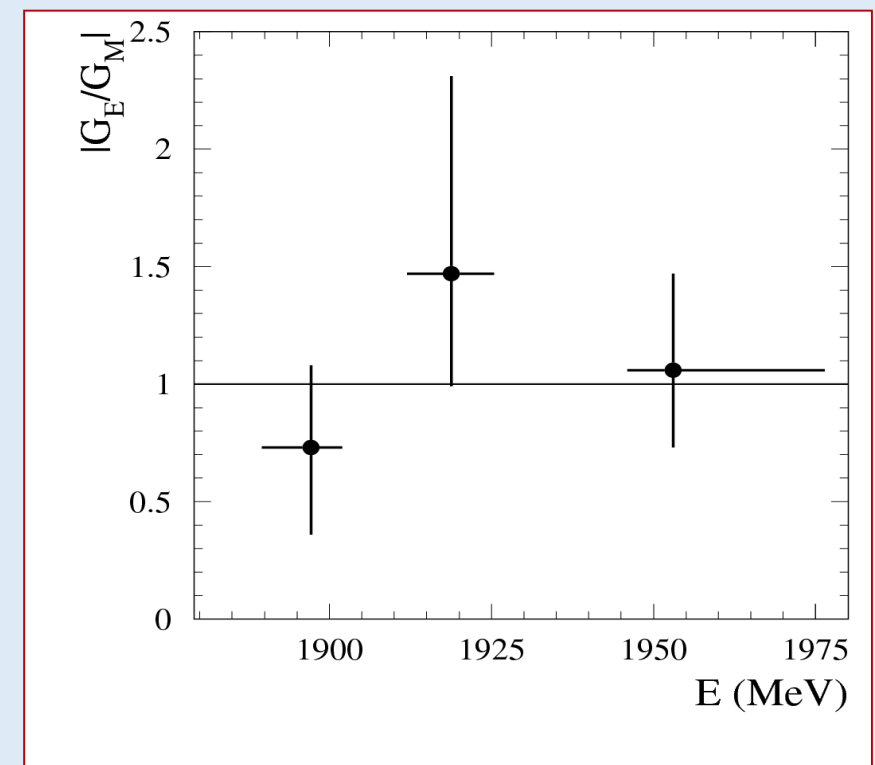


$$\sigma(e^+e^- \rightarrow B\bar{B}) = \frac{4\pi\alpha^2\beta C}{3m^2} \left(|G_M|^2 + \frac{2m_B^2}{m^2} |G_E|^2 \right)$$

$$|F|^2 = \frac{|G_M|^2 + |G_E|^2 / 2\tau}{1 + 1/2\tau}, \quad \tau = \frac{m^2}{4m_B^2}$$

Отношение электрического и магнитного формфакторов нейтрона $|G_E|/|G_M|$

$$\sigma(e^+e^- \rightarrow B\bar{B}) = \frac{\alpha^2 \beta C^2}{4m^2} \left(|G_M|^2 (1 + \cos^2 \theta) + \frac{4m_B^2}{m^2} |G_E|^2 (1 - \cos^2 \theta) \right)$$

Измеренный результат для $|G_E|/|G_M|$ 

Выводы

На электрон-позитронном коллайдере ВЭПП-2000 (slide 8) с детектором СНД (slide 9) изучался процесс $e^+e^- \rightarrow \text{нейtron} + \text{антинейtron}$ в области энергии вблизи порога процесса. В результате эксперимента (slide 10) были зарегистрированы более 2500 пар нейтрон+антинейтрон, что позволило измерить сечение процесса (0.5-0.3 нанобарна, slide 13), а также впервые вблизи порога определить эффективный электромагнитный времениподобный формфактор нейтрона (slide 14) и отношение электрического и магнитного формфакторов нейтрона (slide 15). Формфактор нейтрона оказался меньше протонного формфактора.

Полученный в данной работе нейтронный формфактор стыкуется с измерениями детектора BESIII при большей энергии .



Experimental study of the $e^+e^- \rightarrow n\bar{n}$ process at the VEPP-2000 e^+e^- collider with the SND detector

SND Collaboration

M. N. Achasov^{1,2}, A. Yu. Barnyakov^{1,3}, K. I. Beloborodov^{1,2}, A. V. Berdyugin^{1,2}, D. E. Berkaev^{1,2}, A. G. Bogdanchikov¹, A. A. Botov¹, G. S. Chizhik^{1,2}, T. V. Dimova^{1,2}, V. P. Druzhinin^{1,2}, L. V. Kardapoltsev^{1,2}, A. G. Kharlamov^{1,2}, V. A. Kladov^{1,2}, I. A. Koop^{1,2,3}, A. A. Korol^{1,2}, D. P. Kovrizhin¹, A. S. Kupich^{1,2}, A. P. Lysenko¹, N. A. Melnikova¹, N. Yu. Muchnoi^{1,2}, A. E. Obrazovsky¹, E. V. Pakhtusova¹, E. A. Perevedentsev^{1,2}, K. V. Pugachev^{1,2}, S. I. Serednyakov^{1,2,a}, Z. K. Silagadze^{1,2}, P. Yu. Shatunov^{1,2}, Yu. M. Shatunov^{1,2}, D. A. Shtol¹, D. B. Shwartz^{1,2}, I. K. Surin¹, Yu. V. Usov¹, I. M. Zemlyansky^{1,2}, V. N. Zhabin¹, V. V. Zhulanov^{1,2}

¹ Budker Institute of Nuclear Physics, SB RAS, Novosibirsk 630090, Russia

² Novosibirsk State University, Novosibirsk 630090, Russia

³ Novosibirsk State Technical University, Novosibirsk 630073, Russia

Received: 27 June 2022 / Accepted: 9 August 2022

© The Author(s) 2022

Abstract The process $e^+e^- \rightarrow n\bar{n}$ is studied in the experiment at the VEPP-2000 e^+e^- collider with the SND detector. The technique of the time measurements in the multichannel NaI(Tl) electromagnetic calorimeter is used to select $n\bar{n}$ events. The value of the measured cross section in the center-of-mass energy range from 1.894 to 2 GeV varies from 0.5 to 0.35 nb. The effective neutron timelike form factor is derived from the measured cross section and compared with the proton form factor. The ratio of the neutron electric and magnetic form factors is obtained from the analysis of the antineutron polar angle distribution and found to be consistent with unity.

where α is the fine structure constant, $s = 4E_b^2 = E^2$, E_b is the beam energy, E is the center-of-mass (c.m.) energy, $\beta = \sqrt{1 - 4m_n^2/s}$, m_n is the neutron mass, $\gamma = E_b/m_n$, and θ is the antineutron production polar angle. The $|G_E/G_M|$ ratio can be extracted from the analysis of the measured $\cos \theta$ distribution. At the threshold $|G_E| = |G_M|$. The total cross section has the following form:

$$\sigma(s) = \frac{4\pi\alpha^2\beta}{3s} \left(1 + \frac{1}{2\gamma^2}\right) |F(s)|^2, \quad (2)$$

with

S.Serednyakov,n anti-n

Грант РНФ № 23-22-00011 (2023-2024 гг.)

Экспериментальное изучение процесса рождения
пар нейтрон-антинейtron в e^+e^- - столкновениях в
пороговой области

Перспективы

Коллайдер ВЭПП-2000 - “фабрика” anti-n ! ?

ВЭПП-2000 – самый интенсивный в мире
источник антинейтронов*

Процесс $e^+e^- \rightarrow n \text{ anti-}n$ имеет сечение $\sigma_{nn} \sim 0.4 \cdot 10^{-33} \text{ cm}^2$

Светимость $L \sim 5 \cdot 10^{31} \text{ cm}^{-2} \text{ s}^{-1}$

Время 1 год - $T = 10^7 \text{ sec}$

Число событий $N = \sigma L T = 2 \cdot 10^5 \text{ nn /год/детектор}$

Параметры –

- импульс nn 0-350 MeV/c;
- монохроматичность $\sigma E \sim 1 \text{ MeV}$
- источник меченых n *
- источник точечный *
- широкоугольный $\Delta\Omega \sim 4\pi$

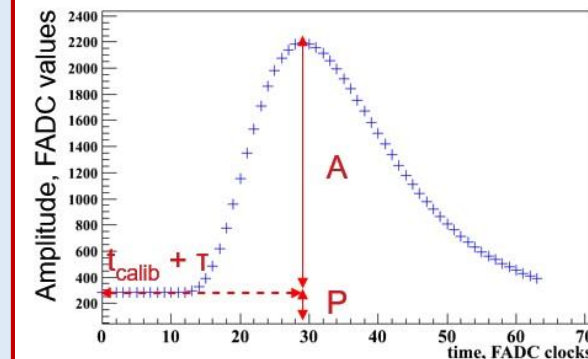
Возможности :

- новое измерение нейтронного формфактора на пороге;
- поиск узких нуклон-антинуклонных резонансов, $\Gamma \sim 1-10 \text{ МэВ};$
- измерение сечений взаимодействие анти-n с разными веществами

Спасибо за внимание !

BackUps

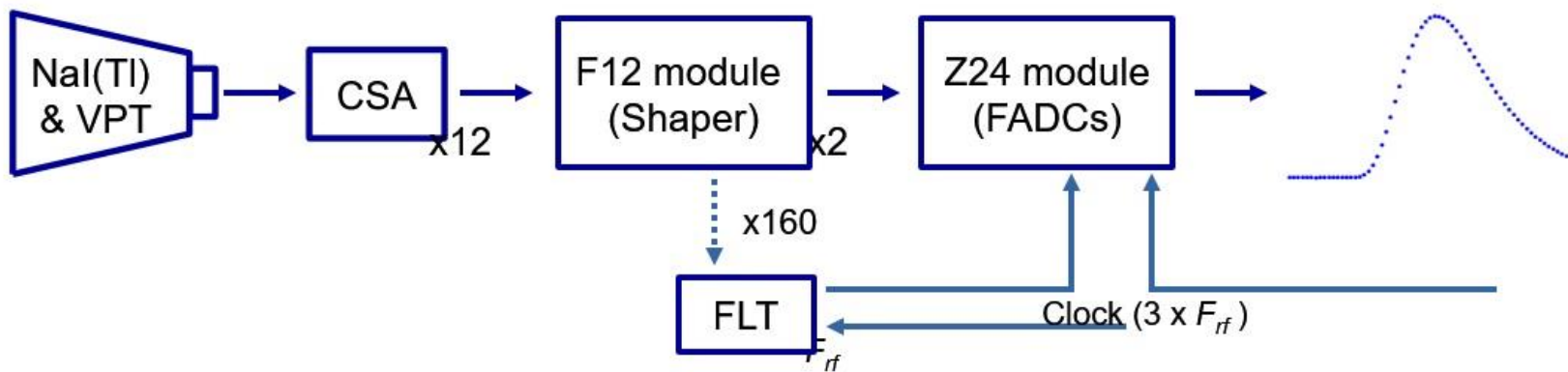
Spectrometric channel in 2019 run.
The measured parameters are pulse time and pulse height.



Typical signal waveform from an EMC channel.

* NIMA v.936 (2019) pp.117-118

The EMC spectrometric channel



N.A. Melnikova

e⁺e⁻ → NN cross section

Differential cross section:

$$\sigma(e^+e^- \rightarrow B\bar{B}) = \frac{\alpha^2 \beta C^2}{4m^2} \left(|G_M|^2 (1 + \cos^2 \theta) + \frac{4m_B^2}{m^2} |G_E|^2 (1 - \cos^2 \theta) \right)$$

Total cross section:

$$\sigma(e^+e^- \rightarrow B\bar{B}) = \frac{4\pi \alpha^2 \beta C}{3m^2} \left(|G_M|^2 + \frac{2m_B^2}{m^2} |G_E|^2 \right)$$

Effective form factor

$$|F|^2 = \frac{|G_M|^2 + |G_E|^2 / 2\tau}{1 + 1/2\tau}, \quad \tau = \frac{m^2}{4m_B^2}$$

Two measurable values:

1 - effective FF,

2 - G_E/G_M

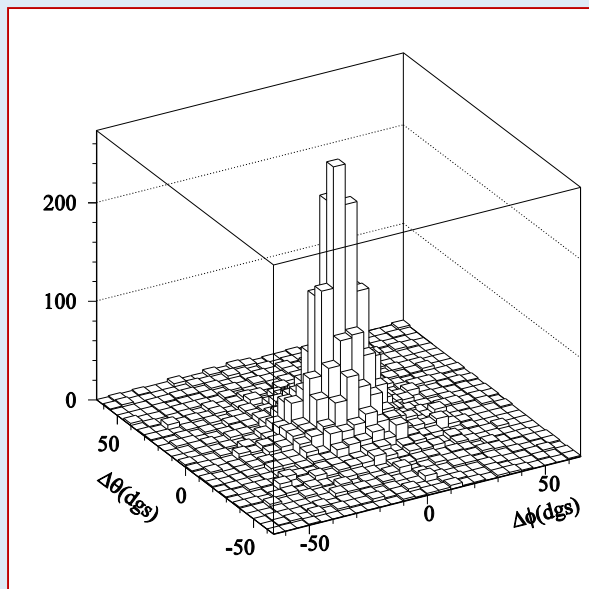
$C=1$ for neutrons

At threshold : $s=4m_B^2 \rightarrow |G_E| = |G_M| = |F|$

$$F_n = -F_p / 2$$

Asymptotic prediction: $F(+\infty) = -F(-\infty) \sim 1/s^2$

Selection of n+anti-n events



Key features

(No tracks*, no photons*, no kinematic χ^2)

- 1 - veto μ system
- 2 - no cosmic muon track in EMC
- 3 - event momentum : $P > 0.3E_{\text{beam}}$
- 4 - EMC energy : $E_{\text{tot}} > E_{\text{beam}}$
- 5 - 3-d EMC layer energy: $E_3 < 0.7E_{\text{beam}}$
- 6 - photon $\chi^2 > -2.5$

Selection results:

- 1 – total events recorded $\sim 2 \cdot 10^7$ events/pb⁻¹
- 2 – after applying cuts ~ 100 events/pb⁻¹, including physical, beam and cosmic background and n anti-n events

Selection efficiency :

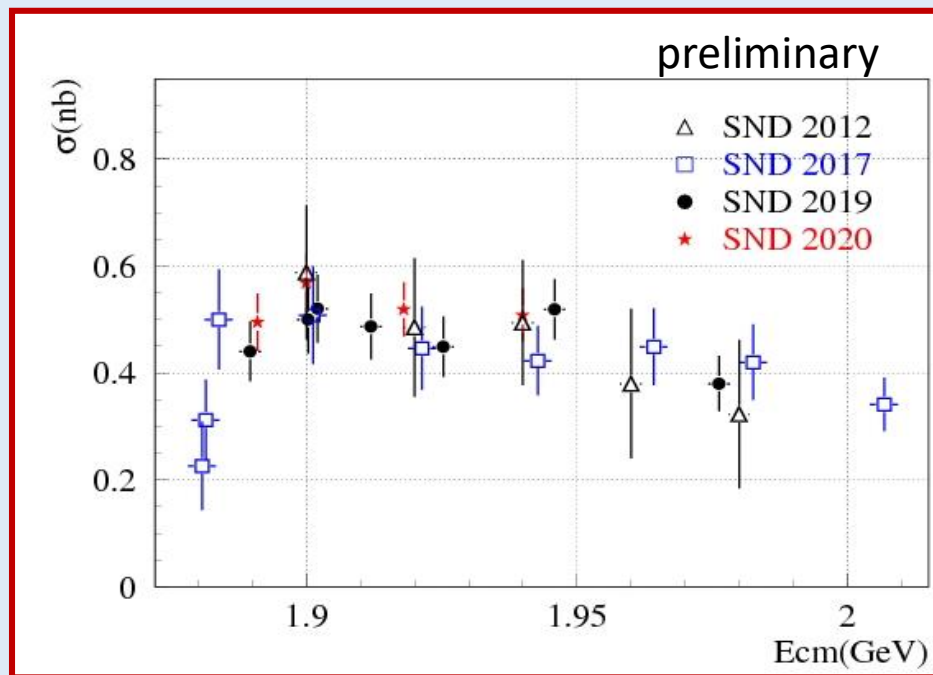
$$\varepsilon_{\text{MC}} \sim 20\% \text{ (945 - 1000 MeV)}$$

Systematic uncertainties in $e^+e^- \rightarrow n + \text{anti-}n$ cross section

1. Detection efficiency uncertainty $\sim 10\%$
2. $|GE/GM|$ uncertainty $\sim 1-5\%$
2. Physical and beam background subtraction $\sim 5-10\%$
3. Energy calibration $\sim 3\%$
4. Luminosity and radiative corrections $\sim 3-5\%$
5. Total systematics $\sim 15\%$

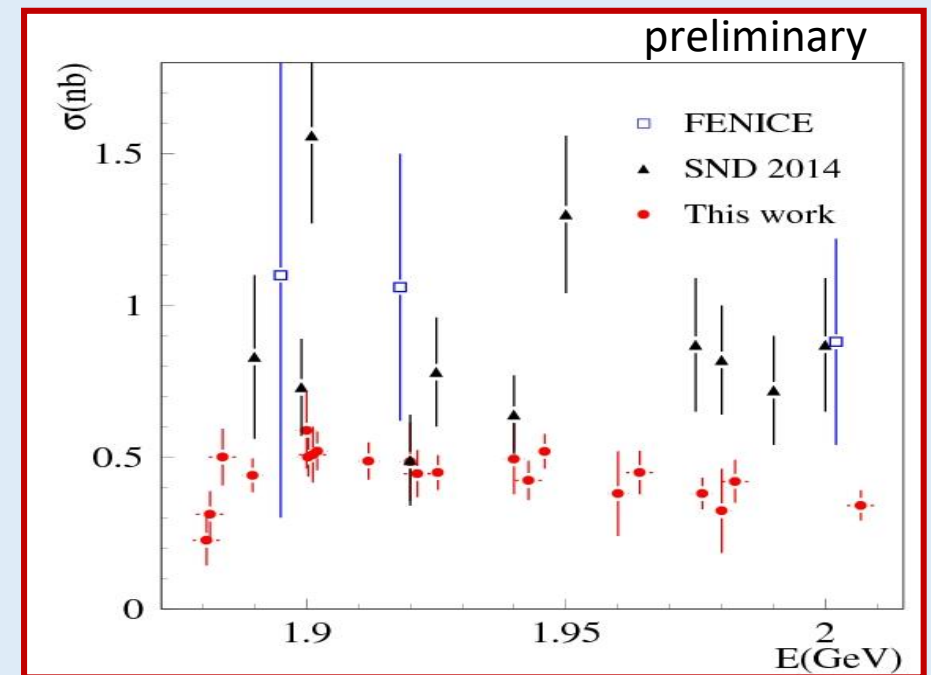
$e^+e^- \rightarrow n \text{ anti-}n$ cross sections, this work

Runs 2012,2017, 2019,2020 comparison



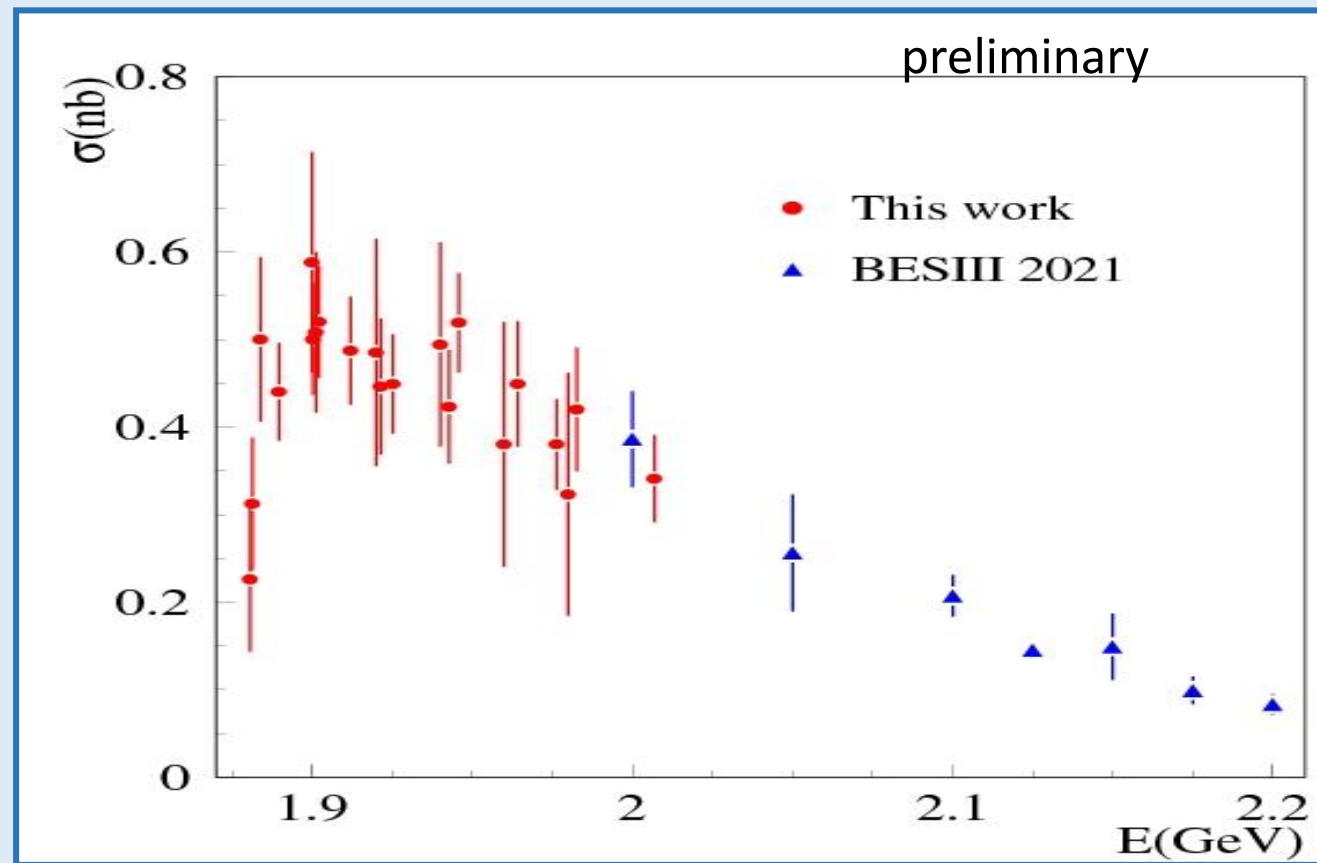
Runs 2012 - reanalyzed

Comparison with previous works up to 2 GeV



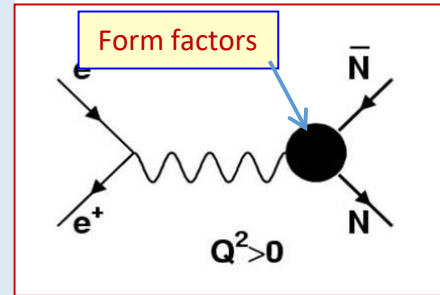
$e^+e^- \rightarrow n \text{ anti-}n$ cross sections, this work

Comparison between SND and BESIII



Cos θ distributions. Extraction of $|G_E|/|G_M|$.

Diagram of $e^+e^- \rightarrow n \bar{n}$



$J^{PC} = 1^{--}$, $J = L+S$,
 $P = (-1)^{L+1} = -1$, $L = 0, 2$,
 $C = (-1)^{L+S} = -1$, $S = 1$,

S, D – waves,

two form factors
e.g. G_E, G_M

Expression for nucleon pair e^+e^- production, $C=1$ for neutrons

$$\sigma(e^+e^- \rightarrow B\bar{B}) = \frac{\alpha^2 \beta C^2}{4m^2} \left(|G_M|^2 (1 + \cos^2 \theta) + \frac{4m_B^2}{m^2} |G_E|^2 (1 - \cos^2 \theta) \right)$$

m – cms energy
 β – nucleon velocity
 θ – polar angle
 m_b – nucleon mass